

一方向分散型計算システムに対する停止判定アルゴリズム

A Termination Detection Algorithm
for Unidirectional Distributed Computing System

溝口 一郎 今井 正治

Ichiro MIZOGUCHI Masaharu IMAI

(豊橋技術科学大学 情報工学系)

(Toyohashi University of Technology)

あらまし 停止判定は分散型計算システムでの重要な問題の一つである。本稿では一方向分散型計算システムに対する停止判定アルゴリズムを提案し、アルゴリズムの評価を行う。まずはじめに一方向分散型計算システムを有向グラフで表わし、この停止判定のアルゴリズムを示す。このアルゴリズムは、ある制限を加えた一方向分散型計算システムに適応することができる。また、アルゴリズムの計算時間の複雑さについて考察し、正当性の証明を行う。

Abstract Termination detection is one of the most important problems in Distributed Computing Systems (DCS's). In this paper, an algorithm to detect termination of unidirectional DCS's (UDCS's) is proposed. A UDCS can be represented as a directed graph $G=(V,E)$. In the proposed algorithm, two kinds of tokens 'cat' and 'mouse' are used. Here, 'mouse' is a data item to be processed, and 'cat' is a token which is used to detect the termination of the calculation in the UDCS. The algorithm is easy to implement, efficient and applicable to a wide range of UDCS's, such as VLSI computing systems and multicomputer systems.

1. はじめに

分散型計算システム(Distributed Computing System:DCS)は、個々の処理装置(Processing Element:PE)をメッセージリンクで結んだものである。コンピュータ・ネットワーク、LAN、マルチ・コンピュータシステム、VLSIシステム等は、DCSとして扱うことができる。

DCSは双方向のメッセージリンクを持つ双方向DCSと一方向のメッセージリンクしか持たない一方向DCSの2種類に分類される。今回議論の対象とするのは一方向DCSである。この種のDCSの例としては、シトリック型計算システム[Kung81]、ある種のマルチ・コンピュータシステムなどを挙げることができる[Imai84]。

単独のPEに問題を与えた場合の停止判定は、

そのPEが動作を停止したかどうかの判定によって行なうことができる。これに対し、DCSに問題を与えた場合の停止判定は、DCSに含まれる全てのPEが動作を停止したかどうかを判定することによって行わなければならない。しかしながらDCS中の全てのPEに対して個々に停止判定を行うのは非現実的であり、非効率的である。そこである特定のPEの状態のみを用いて停止判定を行うことを考える。

双方向DCSに対する停止判定アルゴリズムは、既にDijkstraによって提案されている[Dijk80]。しかし一方向DCSに対する停止判定アルゴリズムは、これまであまり議論されていない。本稿ではある制約を持った一方向DCSに対する停止判定アルゴリズムを提案する。また、アルゴリズムの計算時間の複雑さについて考察し、アルゴリズムの正当性の証明を行う。

2. 定義及び記法

2. 1 一方向分散型計算システム

一方向 DCS は以下のように有向グラフ G を用いて表わすことができる。

$$G = (V, E) \quad (1)$$

ここで V は節点の集合であり、 E は枝の集合である。 V 中の節点はそれぞれ P E に対応し、 E 中の枝はそれぞれメッセージリンクに対応する。一方向 DCS 中で用いられるメッセージは有向グラフ G 中の枝の方向に沿って送られる。

節点 U_i , U_j が V に含まれ、かつ枝 $e_k = (U_i, U_j)$ が E に含まれるならば、 U_i は U_j の前者 (predecessor), U_j は U_i の後者 (successor) と呼ぶ。

バスは連続した枝の系列である。バス中の枝の後者は最後の枝を除いて次の枝の前者になっている。すなわち

$$(U_1, U_2, \dots, U_p) \quad (2)$$

は

$(U_1, U_2), (U_2, U_3), \dots, (U_{p+1}, U_p)$ という枝順のバスを表す。

閉路 (circuit) は e_1, e_2, \dots, e_q というバスで e_1 の前者が e_q の後者になっているものである。n 個 ($n \geq 3$) の節点を持つ閉路において、節点 U_i ($1 \leq i \leq n$) が互いに異なるとき、この閉路を単純な閉路 (simple circuit) と呼ぶ。もし 2 つの閉路が、たかだか一つの節点を除いて同じ節点を含まないならば、これらの閉路は互いに素 (independent) であるといふ。

DCS の停止判定のために、グラフ G 中より節点を 1 つ選び、この節点を環境節点 (environment vertex) と呼ぶ。また、この節点以外の節点を内部節点 (internal vertex) と呼ぶ。図 1 に一方向 DCS の例を示す。

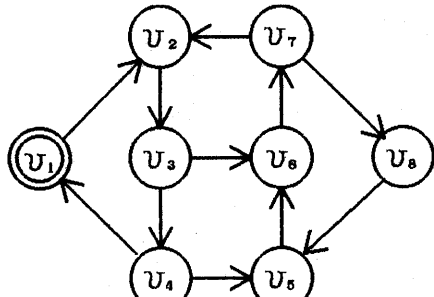


図 1 一方向 DCS の例
(節点 U_1 が環境節点である)

2. 2 ランク

グラフ G に含まれる閉路、枝、および節点の集合を、以下で定義されるランク (rank) と呼ばれる概念を用いることによって階層化する。

定義 1 (ランク 1 の閉路、節点、枝)

$C^{(1)}$ を、環境節点 U_e を含む単純な閉路の集合とする。次に、 $E^{(1)}$ を $C^{(1)}$ 中の閉路に含まれる枝の集合とする。さらに $V^{(1)}$ を、 $C^{(1)}$ 中の閉路に含まれる節点の集合とする。このとき、
(1) $C^{(1)}$ に含まれる閉路のランクは 1 である。

(2) $E^{(1)}$ に含まれる枝のランクは 1 である。

(3) $V^{(1)}$ に含まれる節点のランクは 1 である。□

もし枝の集合 E が $E^{(1)}$ 中に含まれない枝を含むとき、グラフは以下で定義される 2 またはそれ以上のランクの枝を含んでいる。

定義 2 (ランク r の閉路、節点、枝)

E' を次のような枝の集合とする。
 $E' = \{e \mid e = (U_i, U_j)\}$ は

$E = (E^{(1)} \cup \dots \cup E^{(r-1)})$ に含まれ,
かつ U_i は $V^{(r-1)}$ に含まれる。}

また $C^{(r)}$ を、 E' に含まれる枝から始まる閉路の集合とする。次に $E^{(r)}$ を、 $C^{(r)}$ 中の閉路に含まれる枝の集合とする。さらに、 $V^{(r)}$ を、 $C^{(r)}$ 中の閉路に含まれる節点の集合とする。このとき、

- (1) $C^{(r)}$ に含まれる閉路のランクは r である。
(2) $E^{(r)}$ に含まれ、かつ $E^{(1)} \cup \dots \cup E^{(r-1)}$

に含まれない枝のランクは r である。

- (3) $V^{(r)}$ に含まれ、かつ $V^{(1)} \cup \dots \cup V^{(r-1)}$
に含まれない節点のランクは r である。□

最後にグラフのランクを以下のように定義する。

定義3 (グラフのランク)

環境節点 U_e から見たグラフのランクは、グラフ内の最も高いランクの枝のランクとする。□

例1

図1において、環境節点 U_e は節点 U_1 である。定義1より閉路 $(U_1, U_2, U_3, U_4, U_1)$ が $C^{(1)}$ に含まれ、ランク1となる。また枝 $(U_1, U_2), (U_2, U_3), (U_3, U_4), (U_4, U_1)$ が $E^{(1)}$ に含まれるのでランク1となり、節点 U_1, U_2, U_3, U_4 が $V^{(1)}$ に含まれるのでランク1になる。

次に定義2より閉路 $(U_4, U_5, U_6, U_7, U_2, U_3, U_4)$ と $(U_3, U_6, U_7, U_2, U_3)$ が $C^{(2)}$ に含まれ、ランク2となる。この2つの閉路に含まれる7本の枝 $(U_2, U_3), (U_3, U_4), (U_4, U_5), (U_5, U_6), (U_6, U_7), (U_7, U_2), (U_3, U_6)$ が $E^{(2)}$ に含まれる。しかしこの7本の枝のうち、 $(U_2, U_3), (U_3, U_4)$ の2本の枝は既にランクが1と定義されているので、残りの5本の枝 $(U_4, U_5), (U_5, U_6), (U_6, U_7), (U_7, U_2), (U_3, U_6)$ がランク2となる。また節点の場合にも、 $U_2, U_3, U_4, U_5, U_6, U_7$ の6個の節点が

$V^{(2)}$ に含まれるが、ランク2となるのは U_5, U_6, U_7 の3つの節点だけである。

同様の方法により、ランク3の閉路、枝、節点を求める。閉路 $(U_7, U_8, U_5, U_6, U_7)$ 、枝 $(U_7, U_8), (U_8, U_5)$ 、節点 U_8 がランク3である。図1のグラフではランク4以上の閉路、枝、節点は存在しない。このためこのグラフのランクは、定義3より3となる。

以上まとめると以下のようになる。

(1)閉路のランク

$(U_1, U_2, U_3, U_4, U_1)$	ランク1
$(U_4, U_5, U_6, U_7, U_2, U_3, U_4)$	ランク2
$(U_3, U_6, U_7, U_2, U_3)$	ランク2
$(U_7, U_8, U_5, U_6, U_7)$	ランク3

(2)枝のランク

$(U_1, U_2), (U_4, U_1)$	ランク1: $E^{(1)}$
$(U_2, U_3), (U_3, U_4)$	ランク1: $E^{(1)}, E^{(2)}$
$(U_4, U_5), (U_3, U_6)$	ランク2: $E^{(2)}$
(U_7, U_2)	
$(U_5, U_6), (U_6, U_7)$	ランク2: $E^{(2)}, E^{(3)}$
$(U_7, U_8), (U_8, U_5)$	ランク3: $E^{(3)}$

(3)節点のランク

U_1	ランク1: $V^{(1)}$
U_2, U_3, U_4	ランク1: $V^{(1)}, V^{(2)}$
U_5, U_6, U_7	ランク2: $V^{(2)}, V^{(3)}$
U_8	ランク3: $V^{(3)}$

(4)グラフのランク

図1のグラフのランクは3である。

グラフ G 中に含まれる任意の2つの節点 U_i, U_j を選んだとき、 U_i から U_j へのバスと U_j から U_i へのバスとが存在するならば、このグラフ G は強連結である。図1に示したグラフは強連結である。

定義4 衝突

グラフ G 中に含まれる任意の互いに異なる3つの節点 U_i, U_j, U_k を
 $C_1 = (\dots, U_i, \dots, U_j, \dots, U_k, \dots)$

$C_2 = (\dots, U_i, \dots, U_k, \dots, U_j, \dots)$ の形で含む閉路が存在しないならば、このグラフ G を無衝突であると呼ぶ。衝突のあるグラフの例を図 2 に示す。

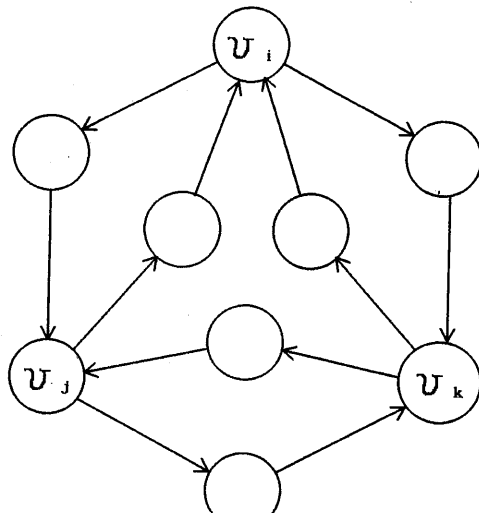


図 2 衝突のあるグラフ

3. 停止判定アルゴリズム

3. 1 メッセージ

停止判定アルゴリズムでは以下の 2 種類のメッセージを用いている。

ネズミ： P E 中で処理されるデータ項目。

ネコ： D C S の停止判定のために用いるトークンで、通過する枝の種類に応じたランクを持つ。ネズミもネコも、ともに環境節点から送り出される。ネズミとネコは以下の性質を持つ。

(1) ネズミの性質

- (a) 環境節点が送り出すまでは、内部節点に存在しない。
- (b) 節点の中でのみ、個数が変化する。
- (c) ネズミが存在しない節点で、自動的に発生することはない。

- (d) 枝を通過するとき、他のネズミやネコを追い越さない。
- (e) 処理が終わると、節点内で消滅する。

(2) ネコの性質

- (a) 環境節点が送り出すまでは、内部節点に存在しない。
- (b) 節点の中でのみ、個数が変化する。
- (c) ネコが存在しない節点で、自動的に発生することはない。
- (d) 枝を通過するとき、他のネズミやネコを追い越さない。
- (e) 節点内で消滅することはない。□

3. 2 アルゴリズム

どの節点にもネズミが存在しなくなつたとき、全ての P E は動作を停止しているので、明らかに D C S は終了している。停止判定アルゴリズムは、ネズミが存在しなくなつたことを環境節点の状態からのみ判断する。

アルゴリズムは、環境節点に対する手続き、および内部節点に対する手続きの 2 つからなる。アルゴリズムの基礎となる定理を以下に示す。

定理 1

節点 U_e を環境節点とするグラフ G のランクを 1 とする。また節点 U_e と U_e につながる全ての枝を取り去って得られる G の部分グラフを G' とする。このときグラフ G' は閉路を持たない。□

【証明】

ランクの定義から、もしグラフ G のランクが 1 ならば、 U_e は G の全ての閉路に含まれる。 G' は U_e と U_e につながる枝を持たないので、閉路を持たない。

(図 3 参照) □

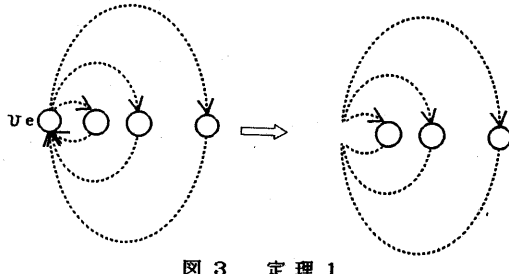


図 3 定理 1

定理 2

もし節点 U_i のランクが r ならば、節点 U_i につながる枝は $E^{(r)} \cup E^{(r+1)}$ の中に含まれる。□

定理 2 の証明は付録 1 に示す。定理 2 より、ランク r の節点とつながる枝を 3 つのタイプに分類することができる。

定義 5 (枝のタイプ)

(1) $E^{(r)}$ にのみ含まれる枝を Type 1 とする。

(2) $E^{(r+1)}$ にのみ含まれる枝を Type 2 とする。

(3) $E^{(r)}$ と $E^{(r+1)}$ に含まれる枝を Type 3 とする。□

定義 5 で、各枝のタイプは視点となる節点によって異なる場合があることに注意する。例えば図 1 のグラフでは、枝 (U_7, U_2) は、節点 U_2 から見ると type 2、節点 U_7 から見ると type 1 である。

3. 3 環境節点に対する手続き

環境節点は、4 つの状態 BUSY, IDLE, CONT, FIN のうちいずれかの状態をとる。

初期状態は BUSY 状態で、この状態は内部節点内にネコが存在しないことを示している。

(1) BUSY 状態

ネズミが環境節点に存在しないとき、ランク 1 のネコを全ての外向きの枝

へ送り出し、IDLE 状態にする。

(2) IDLE 状態

ランク 1 のネコが全ての中向きの枝から帰って来たら、FIN 状態にする。ネズミが帰って来たら、CONT 状態にする。

(3) CONT 状態

ランク 1 のネコが全ての中向きの枝から帰って来たら、BUSY 状態にする。

(4) FIN 状態

DCS は停止した。□

環境節点の状態推移図を図 4 に示す。

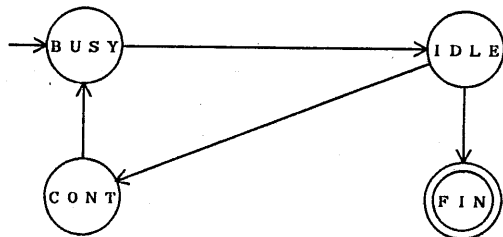


図 4 環境節点の状態遷移図

3. 4 内部節点に対する手続き

ランク r の各内部節点は、5 つの状態 REST, AWAKE, SEND, CHECK, WAIT のうちいずれかの状態をとる。初期状態は REST 状態で、節点での計算が停止していることを示している。

(1) REST 状態

ネズミかネコが到着したら、AWAKE 状態にする。

(2) AWAKE 状態

Type 1 の全ての中向きの枝からランク r のネコが、Type 3 の全ての中向きの枝からランク $r+1$ のネコが到着したら、SEND 状態にする。

(3) SEND状態

(a) 外向きの枝が Type 1 のみの場合は、その枝へランク r のネコを送り出し REST 状態にする。

(b) それ以外の場合は、Type 2, Type 3 の全ての外向きの枝へランク $r+1$ のネコを送り出し、CHECK 状態にする。

(4) CHECK 状態

ネズミが来たら、WAIT 状態にする。

Type 2, Type 3 の全ての中向きの枝からネコが帰って来たら、Type 1, Type 3 の全ての外向きの枝へランク r のネコを送り出し、REST 状態にする。

(5) WAIT 状態

Type 2, Type 3 の全ての中向きの枝からネコが帰って来たら、SEND 状態にする。□

内部節点の状態遷移図を図 5 に示す。また図 6 に図 1 の有向グラフで表される一方向 DCS にアルゴリズムを適用した場合の各節点の状態遷移を示す。

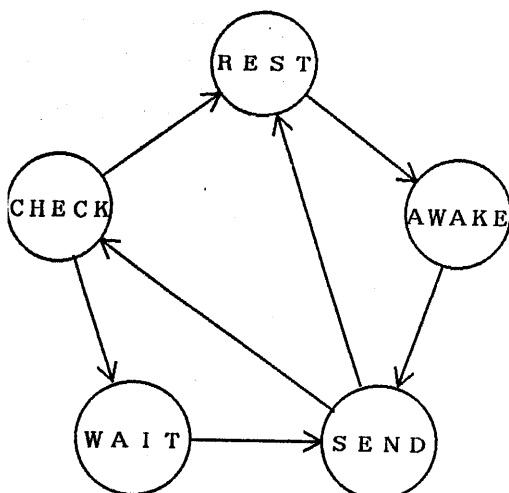


図 5 内部節点の状態遷移図

節点	→ 時刻				
	REST	A S V E	IDLE	FIN	
U ₁	REST		CHECK	REST	
U ₂	REST	A S V E	CHECK	REST	
U ₃	REST	A S V E	CHECK	REST	
U ₄	REST	A S V E	CHECK	REST	
U ₅	REST	A S V E	CHECK	REST	
U ₆	REST	A W A K E	S E	CHECK	REST
U ₇	REST		A S V E	CHECK	REST
U ₈	REST		A S V E	CHECK	REST

図 6 各節点の状態遷移

3. 5 アルゴリズムの正当性の証明

これまで示したアルゴリズムで一方向 DCS の停止判定が行えることを証明する。

定理 3

G をランク P の強連結の無衝突グラフとする。グラフ G 中のどの節点にもネズミが存在しないとき、かつそのときに限り環境節点 U_e は FIN 状態になる。□

証明は付録 2 へ示す。

3. 6 アルゴリズムの複雑さ

提案したアルゴリズムの計算時間の複雑さは以下の定理で与えられる。

定理 4

環境節点が全ての外向きの枝へネコを送り出すために必要な時間、内部節点がネコを通過させるために必要な時間、および環境節点が全ての中向きの枝からネコを受け取り停止判定をするまでに必要な時間を、それぞれ 1 単位時間とする。また、グラフ G の節点の個数を n とする。グラフ G 中にネズミが存在しないとき、停止判定アルゴリズムの計算時間は最小 3 単位、最大 $2n - 1$ 単位である。□

証明は付録 3 へ示す。

4. おわりに

本論文では衝突のない一方向DCSに対する停止判定アルゴリズムを示し、その正当性を証明した。衝突があるDCSについてのアルゴリズムの開発は今後の課題である。

謝辞

日頃ご指導賜る本学の本多波雄学長、名古屋大学の福村晃夫教授、稻垣康善教授、京都大学の茨木俊秀教授、広島大学の山下雅史助教授、討論いただいた研究室の諸兄に感謝する。なお、本研究の一部は、文部省科学研究費補助金（総合研究（A）研究課題番号62302032）による。

参考文献

- [Dijk80] E. W. Dijkstra:"Termination Detection for Diffusing Computations," Information Processing Letters, Vol.11, No.1 (Aug. 1980).
- [Imai85] M. Imai:"Termination Detection Algorithms for Unidirectional Distributed Computing Systems," Tech. Rep. USCM 85-02, Univ. of South Carolina (Jan. 1985).
- [Imai86] M. Imai:"A Double-Tree Structured Multicomputer System and its Application to Combinatorial Problems," The Transactions of the IECE of Japan ,Vol.E69, No.9 (Sep. 1986).
- [Kung81] H. T. Kung, et al.:VLSI Systems and Computations, Springer-Verlag (1981).
- [Mizo88] 溝口一郎, 今井正治:"一方向分散型計算システムに対する停止判定アルゴリズム," 電子情報通信学会全国大会シンポジウムの論文
- [Toku83] 徳田雄洋:"分散型アルゴリズムの基礎," 情報処理, Vol.24 , No.4 (Apr. 1983).

付録 1

定理2の証明

(1) 節点 U_i にランク q ($q < r$) の枝が入っていると仮定する。

このとき節点 U_i はランク q の枝を持つ閉路に含まれ、そのランクは少なくとも q 以下となる。このため U_i のランク r という仮定と矛盾する。

(2) 節点 U_i に節点 U_j よりランク q ($q \geq r$) の枝が入っていると仮定する。

(a) $r = 1$ のとき

このとき節点 U_i は環境節点を含む閉路中に存在する。グラフが強連結であることから、閉路内のある節点 U_k から他の節点 U_j へのバスが存在し、新たな閉路ができる。新たな閉路が環境節点を含むならば、枝 (U_j, U_i) のランクは 1 となる。また環境節点を含まないならば、枝 (U_j, U_i) のランクは 2 となる。

(図 7, 8 参照)

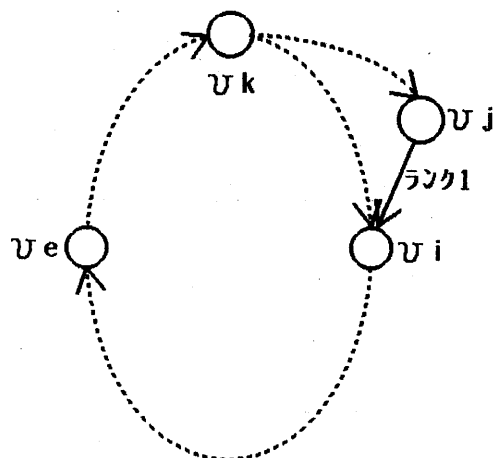


図 7 閉路が環境節点を含む場合

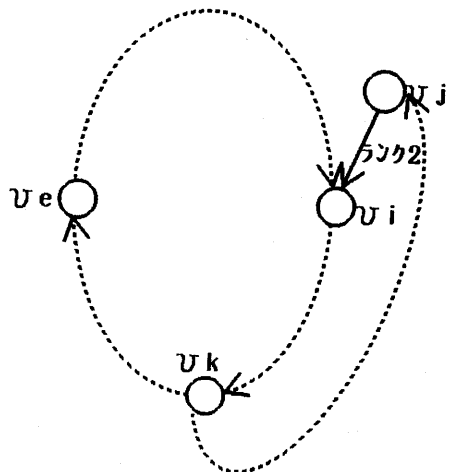


図 8 閉路が環境節点を含まない場合

(b) $r > 1$ のとき

このとき節点 U_k はランク $r - 1$ の節点を少なくとも 1 つ含む閉路の中の節点の 1 つである。グラフが強連結であることから、閉路内の節点 U_k から他の節点 U_j へのバスが存在し、新たな閉路が出来上がる。新たな閉路がランク $r - 1$ の節点 U_a を含めば、枝 (U_j, U_i) のランクは r となる。またランク $r - 1$ の節点 U_a を含まなければ、枝 (U_j, U_i) のランクは $r + 1$ となる。(図 9, 10 参照)

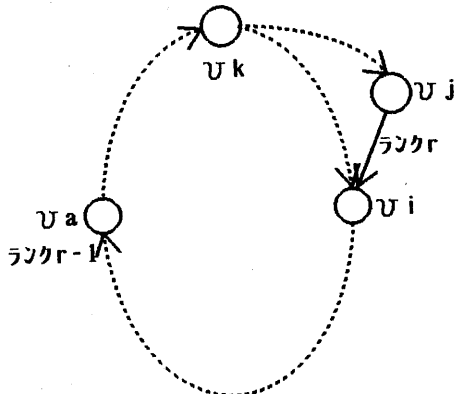


図 9 閉路がランク $r - 1$ の節点 U_a を含む場合

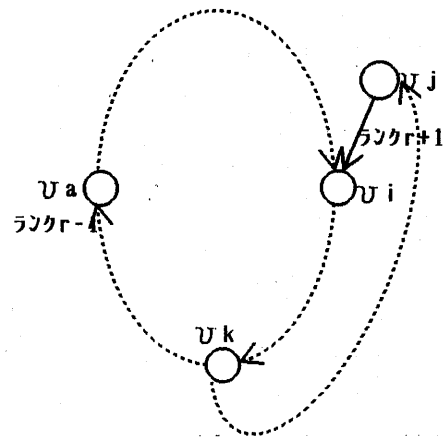


図 10 閉路がランク $r - 1$ の節点 U_a を含まない場合

以上(1), (2)より題意成立□

付録 2

定理 3 の証明

定義 2. 2 から明らかなように、任意のランク P のグラフから、ランク $P - 1$ の点を除去すると、 n 個 ($n \geq 1$) の節点とそれらを結ぶ枝が残り、閉路は存在しない。そしてこれら n 個の節点は m 個 ($1 \leq m \leq n$) の木を構成している。以下では、まずランク 1 の DCS に対し定理 3 の主張が成立することを帰納法を用いて証明する。

(1) ランク 1 の DCS

定理 1 より、ランク 1 の DCS から環境節点とそれにつながる枝を除去すると、閉路を持たないことが知られる。そこで、ランク 1 の DCS に属する節点に対し最長距離の概念を定義し、これを用いて証明を行う。各節点の最長距離とは、環境節点からその節点へ至る最長バスの長さである。例えば図 1 のグラフにおいて節点 U_1 の最長距離は 5、節点 U_2 の最長距離は 6 である。

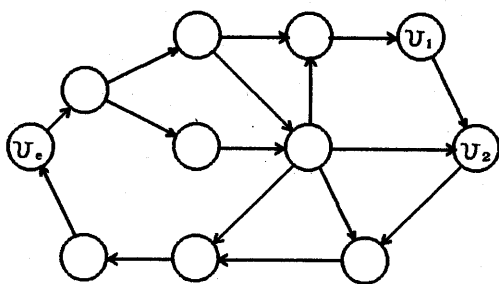


図 1-1 節点の最長距離

(a)十分性 (グラフ中にネズミが存在しないとき)

ある有限な時間の後、環境節点から送られたネコにより、環境節点からの最長距離が 1 である節点は REST 状態になり後者の節点に対しネコを送り出す。環境節点からの最長距離が 1 である全ての節点が REST 状態になってから、ある有限時間の後、環境節点からの最長距離が 2 である節点が REST 状態になる。同様にして全ての内部節点が REST 状態になる。よって環境節点に入る全ての枝からネコが戻って来るので、環境節点はは Fin 状態になる。

(b)必要性 (環境節点が Fin 状態のとき)

環境節点からの最長距離が n である節点でのネズミの存在について考える。

(I) $n = 1$ のとき

REST 状態になり後者の節点にネコを送りだした後、環境節点からネコが送られて来ることはないので、この節点の内部状態は REST 状態のままであり、ネコは存在しない。

(II) $n \leq r - 1$ の節点にネズミが存在しないと仮定

このとき $n = r$ の節点では、REST 状態になり後者の節点にネコを送りだした後、 $n = r$ の節点からネコが送られて来ることはないので、この節点の内部状態は REST 状態のままであり、ネコは存在しない。

以上(I)(II)よりランク 1 の DCS に対して定理 3 が成立する。

(2)ランク 2 以上の DCS

(I) $P = 1$ のとき

(1)より $P = 1$ のとき明らかに定理が成り立つ。

(II) $P \leq k - 1$ のとき

$P \leq k - 1$ のとき、定理が成り立つと仮定する。

(III) $P = k$ のとき

ランク $k - 1$ 以下の点を除去したとき m 個の木が残る。ランク $k - 1$ の節点のうちランク k の枝がつながっているものは除去しない場合、 m 個のグラフが残る。この n 個のグラフは、除去の対象とならなかったランク $r - 1$ の点を環境節点とみなすことになると、全てランク 1 のグラフである。よってこれら m 個のグラフでは、(1)より定理が成り立ち、 $P = k$ の場合にも定理が成り立つ。

以上(1),(2)より題意成立。□

付録 3

定理 4 の証明

(1) 最小値

停止判定に必要な時間が最小になるのは、グラフ G が図 1-2 のような形の場合である。この時、明らかに計算時間の最小値は 3 となる。

(2) 最大値

仮定よりグラフは強連結であるので、環境節点からグラフ中のある節点 U_a に至る単純なバスの長さは、たかだか $n - 1$ である。逆に節点 U_a から環境節点 U_e に至る単純なバスの長さもたかだか $n - 1$ である。このような節点 U_a が存在するグラフの例を図 1-3 に示す。このようなグラフにおいて、 G

中にネズミが存在しないとき、ネコは
 U_a 以外の内部節点をそれぞれ 2 回、
 U_a を 1 回通過する。したがって、ア
ルゴリズムの計算時間はグラフのラン
クに依存することなく最大 $2n - 1$ と
なる。

以上(1),(2)より題意成立□

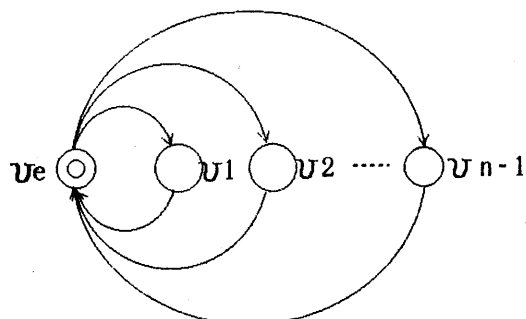


図 1.2 計算時間が最小となる例

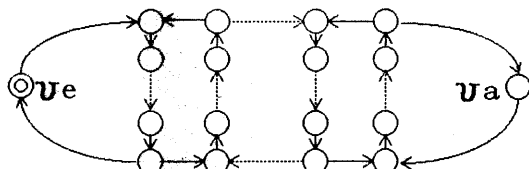


図 1.3 計算時間が最大となる例